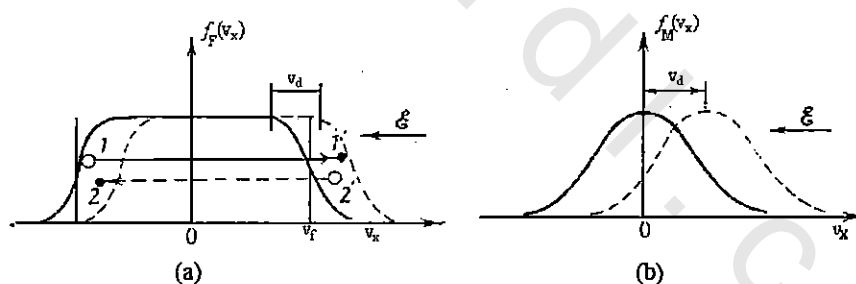


الباب الثامن

التوصيل الكهربى فى الماد الصلبة Electrical conduction in Solids

الحالة الاتزانية للغاز الإلكترونى

علمنا أن الغاز الإلكترونى المنحل يتصرف بدالة فيرمي ديراك (شكل 8-1.a) وغير المنحل بدالة ماكسويل بولتزمان (شكل 8-1.b). وتماثل الدالتين حول القيمة (0) يدل على أن عدد الإلكترونات التي تتحرك في اتجاه ما يساوى عدد الإلكترونات التي تتحرك في الاتجاه المضاد وتكون السرعة المتوسطة لهذه الإلكترونات مساوية لصفر، وهذا يفسر عدم مرور تيار كهربى خلال الموصى عندما يكون المجال الكهربى $E = 0$. هذه الحالة الاتزانية للغاز الإلكترونى تكون ناتجة بسبب الحركة العشوائية للإلكترونات نتيجة تشتتها فوق عيوب الشبكية (الاهتزازات الحرارية، العيوب النقطية والذرات الشائبة) والذي يتبعه تبادل في الطاقة وكمية الحركة.



شكل (8-1): دالتا التوزيع للغاز الإلكترونى المنحل (a) والغاز غير المنحل (b)

الحركة الانسياقية للإلكترونات (Electron drift motion)

عندما يؤثر مجال كهربى E على موصل فإنه يسبب مرور تيار كهربى خلال الموصى كئافته σ تتناسب طرديا مع شدة المجال (قانون أوم) حيث:

$$j = \sigma E \quad (8 - 1)$$

ويسمى معامل التناسب σ بالموصلية النوعية specific conductance أو الموصلية الكهربية electrical conductivity ووحدة قياسها هي $(\Omega m)^{-1}$ ، وتقع قيمتها للموصلات الجيدة في المدى $10^{10} \Omega m^{-1} - 10^9$ ، وللعزلات الجيدة في المدى $10^{12} - 10^{10} \Omega m^{-1}$ ، ومقلوب هذه الكمية هو:

$$\rho = \frac{1}{\sigma} \quad (8-2)$$

ويعرف بالمقاومة النوعية ووحدتها هي (Ωm) .

والتيار المار خلال الموصى يكون ناتجاً بسبب السرعة الانسياقية (drift velocity) للإلكترونات نتيجة تأثير المجال الخارجي.

السرعة الانسياقية أو الاندفاعية v_d .

عند تطبيق المجال الكهربى E بين طرفي الموصى فإن الإلكترون يتأثر بقوة qE تسبب اندفاعه بعجلة في اتجاه مضاد لاتجاه المجال، وتزداد سرعته الانسياقية باستمرار. هذه الحركة تتأثر بقوة مقاومة F ناتجة عن تشتت الإلكترون عند تصادمه بعيوب الشبكية (شكل 2-8).



شكل (2-8): السرعة الانسياقية للإلكترون

قوة المقاومة F تتناسب مع السرعة v_d وتكون عكس اتجاهها.

$$i.e \quad F_r = -\frac{1}{\tau} m^* v_d$$

حيث m هي الكتلة الفعالة للإلكترون، τ يسمى زمن الاسترخاء، وهو الزمن اللازم لعودة النظام لوضعه الاتزانى بعد زوال المجال المؤثر، وتعطى معادلة الحركة للإلكترون

كالتالى :

$$m^* \frac{dv_d(t)}{dt} = -qE - \frac{1}{\tau} m^* v_d(t) \quad (8-3)$$

واضح أن قوة المجال تحاول تعجيل الإلكترون أى تزيد من سرعته، وبالتالي تزداد

قوة المقاومة F وعندما تتساوى القوتان، فإن محاصلتهما تساوى صفرًا ويتحرك الإلكترون بسرعة انسياقية ثابتة.

$$\text{i.e. } -q\varepsilon = \frac{1}{\tau} m^* v_d \\ \therefore v_d = -\frac{q\varepsilon}{m^* \tau} \quad (8-4)$$

الإشارة السالبة تدل على أن اتجاه السرعة الانسياقية للإلكترون يكون مضاداً لاتجاه المجال الكهربائي. والنسبة بين السرعة الانقيادية للإلكترونات وشدة المجال الكهربائي المطبق تعرف بالقدرة الحركية أو التحركية للإلكترونات μ_n ، وتعطى كالتالي:

$$\mu_n = \frac{v_d}{\varepsilon} = \frac{q}{m^*} \tau \quad (8-5)$$

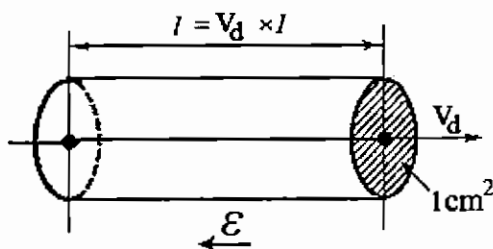
فإذا كانت حاملات الشحنة charge carriers في المادة هي الفجوات، فإن

$$\text{التحركية } \mu_h \text{ لها تعطى بالعلاقة التالية: } \mu_h = \frac{q}{m_h^*} \tau$$

حيث m_h هي الكتلة الفعالة للفجوات، وتكون μ_h سالبة، μ_h موجبة بسبب نوع الشحنة في الحالتين.

الموصليات الكهربائية لموصل

كثافة التيار j المار خلال موصل تعرف بأنها مقدار الشحنة المارة خلال وحدة المساحة في الثانية الواحدة، أي أنها مقدار الشحنة الموجودة في إسطوانة من الموصل مساحة قاعدتها الوحدة وطولها يساوى عددياً قيمة السرعة v_d .



شكل (8-3): كثافة التيار خلال موصل

$$\therefore j = nqvd = nq\mu_n \varepsilon \quad (8-6)$$

حيث n – عدد الإلكترونات في وحدة الحجم.
بمقارنة العلاقة (8-6) بالعلاقة (1-8) فإن:-

$$\sigma = nq\mu_n \epsilon \quad (8-7)$$

وبالتعويض عن μ من العلاقة (5 - 8) فإن :-

$$\sigma = \frac{nq^2}{m^*} \tau \quad (8-8)$$

الموصية الكهربية للغاز الإلكتروني

في حالة الغاز غير المنحل، يكون عدد الإلكترونات في منطقة التوصيل قليلاً لدرجة أن حركة أي إلكترون لا تتأثر كثيراً بالإلكترونات الأخرى، وبذلك فإن كل الإلكترونات في منطقة التوصيل تلعب دوراً مستقلاً في التوصيل الكهربائي للموصلات. وعليه فإن العلاقةين (5 - 8)، (8 - 8) للقدرة الحرارية μ والموصية الكهربية σ على الترتيب تعطيان بدلالة القيم المتوسطة لزمن الاسترخاء أو طول المسار الحر λ كالتالي :

$$\mu_n = \frac{q\bar{\tau}}{m^*} = \frac{q}{m^*} \frac{\bar{\lambda}\bar{v}}{\bar{v}} \quad (8-5')$$

$$\sigma = \frac{nq^2}{m^*} \bar{\tau} = \frac{nq^2}{m^*} \frac{\bar{\lambda}\bar{v}}{\bar{v}} \quad (8-8')$$

حيث $\bar{\tau}$ هو متوسط زمن الاسترخاء، $\bar{\lambda}$ متوسط طول المسار الحر، \bar{v} متوسط عدد التصادمات، \bar{v} السرعة المتوسطة.

أما في حالة الغاز الإلكتروني المنحل، فإن الإلكترونات التي تتواجد بالقرب من مستوى فيرمي هي فقط التي يمكنها أن تساهم في التوصيل الكهربائي، وعلى ذلك فإن القيم المتوسطة في العلاقةين (5 - 8)، (8 - 8) يمكن أن ننسبها لمستوى فيرمي، أي أنه للغاز الإلكتروني المنحل يكون :

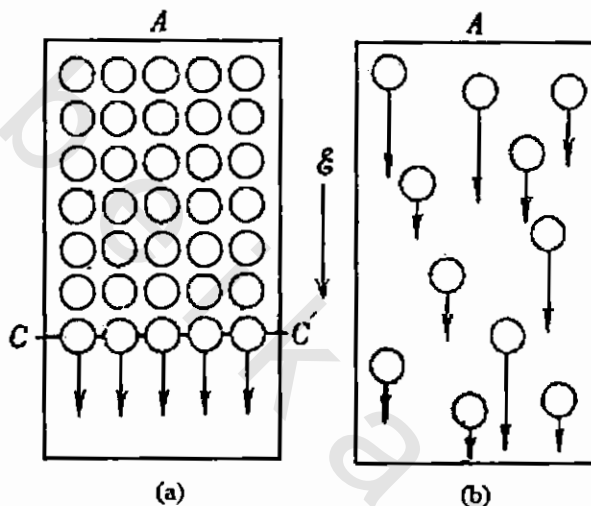
$$\mu_n = \frac{q\tau_F}{m^*} = \frac{q}{m^*} \frac{\lambda_F v_F}{v_F} \quad (8-5'')$$

$$\sigma = \frac{q^2 n}{m^*} \tau_F = \frac{q^2 n}{m^*} \frac{\lambda_F v_F}{v_F} \quad (8-8'')$$

حيث λ تمثل متوسط المسار الحر للإلكترونات التي طاقتها تساوى طاقة فيرمي، v_F تمثل سرعتها، n تمثل عدد التصادمات التي بعدها تصبح السرعة الموجهة للإلكترونات عشوائية (أى تعود إلى الحالة الاتزانية في حالة عدم وجود مجال).

ولتوضيح الفرق في سلوك كل من الغاز الإلكتروني المنحل وغير المنحل تحت تأثير مجال كهربائي، نعتبر كرات مشحونة فوق سطح ماء داخل إناء A. فإذا كان عدد هذه الكرات كبيرة (degenerate gas) فإنه يمكن تمثيلها بالشكل (4.a - 8) أما إذا كان

عدها صغيرا (nondegenerate gas) فإنها تمثل بشكل (a - 4.b). واضح أن الكرات في الشكل (b) تتحرك بحرية وباستقلال عن بعضها، وبالتالي فإن حركة النظام ككل يمكن تحديدها بواسطة البارامترات المتوسطة لحركة الجسيمات المفردة، أي عن طريق السرعة المتوسطة \bar{v} ، زمن الاسترخاء المتوسط $\bar{\tau}$ ومتوسط طول المسار الحر \bar{L} ... إلخ.



شكل (8-4): شكل الحركة
للغاز الإلكتروني المنحل (a)
والغاز غير المنحل (b)

أما الحالة (a) والتي تكون فيها الكرات متراصمة بجانب بعضها البعض وتشغل كل الأماكن المسموحة، فإن حركة النظام ككل تحت تأثير المجال الكهربى تتحدد بحركة الطبقة C' التي تفصل بين الحالات المشغولة والحالات الخالية، وهى تشبه حركة الإلكترونات المجاورة لمستوى فيرمى فى الغاز المنحل والتى تفصل بين الحالات المسموحة الخالية والمليئة.

قانون فايدمان – فرانس – لورنس

Wiedemann–Franz–Lorenz Law

لا يقوم الغاز الإلكتروني بعملية التوصيل الكهربى عند تطبيق مجال كهربى على الموصى فقط، بل يقوم أيضا بعملية نقل الحرارة بين أجزاء البلورة عند وجود تدرج حرارى (Temperature gradient) خالى الموصى. وفي كلتا العمليتين يحدث انتقال للشحنة عبر الموصى. لذلك، فإنه منطقيا أن نتوقع وجود علاقة بين معاملى التوصيل الكهربى σ والحرارى K . هذه العلاقة أثبتت عمليا بواسطة العالمين فايدمان وفرانس ثم

أكدت نظرياً بواسطة العالم لورنس وذلك بالنسبة للمعادن، حيث تبين أن نسبة الموصليّة الحراريّة K لمعدن إلى موصليّته الكهربائيّة σ تتناسب طردياً مع درجة حرارته المطلقة.

$$i.e \quad \frac{K}{\sigma} = L T \quad (8 - 9)$$

العلاقة (8-9) تمثل قانون فايدمان - فرانس - لورنس، ويسمى معامل التنااسب L بعدد لورنس (Lorenz number).

عدد لورنس L

نعلم أن التوصيل الحراري خلال المادة الصلبة يتم عن طريق كل من الفونونات والإلكترونات.

$$i.e \quad K = K_{lattice} + K_e$$

ويكون انتقال الحرارة بواسطة الإلكترونات سائداً في حالة المعادن.

$$i.e \quad K \gg K_{lattice}$$

$$\therefore K \approx \frac{K}{3} = \frac{\pi^2}{3} \frac{N K_B^2}{m^* v_F} \lambda_f T$$

حيث $N = n v_F$ هو عدد التصادمات الكلية للإلكترونات.

بقسمة العلاقة الأخيرة على العلاقة (8-8) نحصل على:

$$\frac{K}{\sigma} = \frac{\pi^2}{3} \left(\frac{K_B}{q} \right)^2 T \quad (8 - 10)$$

$$i.e \quad L = \frac{\pi^2}{3} \left(\frac{K_B}{q} \right)^2 = 2.45 \times 10^{-8} \text{ W. ohm. k}^{-2}$$

ولقد بيّنت النتائج التجريبية لبعض المعادن أن القيم العمليّة لعدد لورنس تتفق بشكل جيد مع هذه القيمة النظرية.

وفي حالة أشباه الموصلات غير المنحلة، فإن مركبة معامل التوصيل الحراري الناتج عن الفونونات تمثل جزءاً أساسياً في الموصليّة الحراريّة، وتكون علاقـة فايدمان - فرانس - لورنس $(\frac{K}{\sigma} = L T)$ صحيحة أيضاً، حيث يعين الثابت L من العلاقة الآتـية:

$$L = 2 \left(\frac{K_B}{q} \right)^2$$

أما في حالة السبائك المعدنية فقد لوحظ عملياً أن هناك علاقة محددة بين التوصيلية الحراريّة والتوصيلية الكهربائيّة لهذه السبائك لا تطابق قانون فايدمان - فرانس وتأخذ الصورة الفيزيائية التالية:

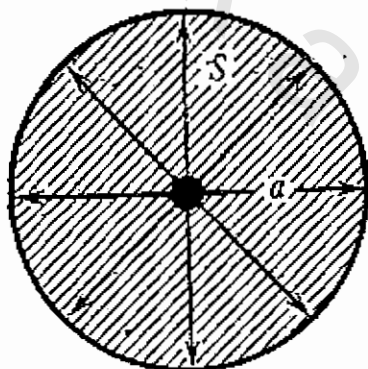
$$K = 5.02\sigma T \times 10^{-9} + 0.03$$

وذلك لأن التغيرات في التوصيلية الحرارية للسبائك المعدنية مع التركيب الكيميائي تتبع التغيرات في التوصيلية الكهربائية طبقاً لقانون فايدمان - فرانس.

التحريكية أو القدرة الحركية لحواميل الشحنة

Mobility of charge carriers

في درجات الحرارة العالية يكون تشتت الإلكترونات الحرجة سائداً فوق الفونونات. كل ذرة من ذرات (عقد) الشبكة البلورية تهتز عشوائياً حول موضع اتزانها وتظل داخل كرة نصف قطرها يساوي سعة الاهتزاز (a) (شكل 8-5)، مساحة مقطع هذه الكرة يمثل مقطع التشتت (Scattering cross section)، وهذا يعني أن احتمال تشتت الإلكترون يتناسب طردياً مع مساحة هذا المقطع، ويتناصف المسار الحر عكسياً مع هذه المساحة.



شكل (8-5): مقطع التشتت للإلكترون الحر

$$i.e. \lambda \propto \frac{1}{\pi a^2} \propto \frac{1}{a^2}$$

ومن ناحية أخرى، تتناسب طاقة الذرة المهتزة مع مربع سعة الاهتزازة، أي أن:

$$\begin{aligned} E &\propto a^2 \\ \therefore E &\propto T \\ \therefore \lambda &\propto \frac{1}{T} \end{aligned} \tag{8-11}$$

ويمكن الحصول على نفس النتيجة السابقة كما يلى :

بما أن تركيز الفونونات في المادة يزداد مع ارتفاع درجة الحرارة فإن:

$$n_{ph} \propto T$$

ولما كان متوسط المسار الحر للإلكترون يتناسب عكسيًا مع تركيز الفونونات.

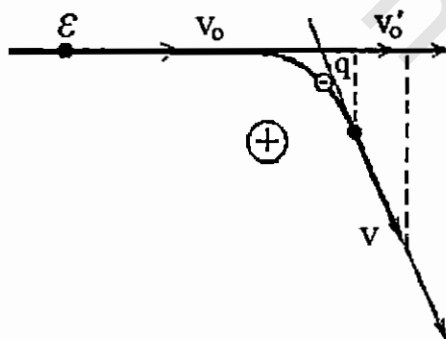
$$i.e \quad \lambda \propto \frac{1}{n_{ph}} \propto \frac{1}{T}$$

في هذا المدى من درجات الحرارة العالية، تكون الحركة المتوسطة للفونون كبيرة لدرجة أن تصادمها واحداً مع الإلكترون يكفي لجعل الأخير يفقد كل سرعته الابتدائية، ومعنى ذلك أن متوسط عدد التصادمات للإلكترون $\bar{\nu} = 1$ ، بالتعويض في العلاقةين (٨-٥)، (٨-٦) نحصل على:

$$\frac{\bar{\lambda}}{v} \sim \frac{T^{-1}}{T^{\frac{1}{2}}} \sim T^{-3/2} \quad (8-12)$$

$$\frac{\lambda_F}{v_F} \sim \frac{T^{-1}}{\text{constant}} \sim T^{-1} \quad (8-13)$$

وفي مدى درجات الحرارة المنخفضة يكون التشتت سائداً فوق ذرات الشوائب المتأينة والتي ينتج عنها نقص سرعة الإلكترونات في اتجاه حركتها الأصلي. شكل (٦-٨) يبين حركة الإلكترون بسرعة ابتدائية V_0 حيث تقل هذه السرعة (مركبة السرعة في الاتجاه الأصلي) لتصبح V' .



شكل (٦-٨): تشتت الإلكترون فوق ذرات الشوائب المتأينة

وبتطبيق نموذج رذرفورد الخاص بتشتت جسيمات α بواسطة أنوية العناصر الكيميائية فإن عدد التصادمات $\bar{\nu}$ يكون كالتالي:

$$\bar{\nu} = v^4 \left(\frac{\epsilon}{zq} \right)^2 m^* \quad (8-14)$$

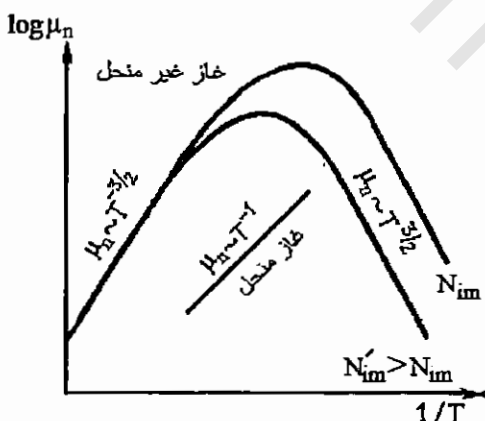
حيث v هي سرعة الإلكترون، ϵ ثابت العزل للبلورة، zq شحنة الآيون. واضح أنه كلما كانت قيم v ، ϵ ، m^* كبيرة، كان عدد التصادمات اللازم للعودة للحالة العشوائية كبيراً أيضاً بسبب كبر طاقة الإلكترون في وجود مجال بليوري ضعيف (نتيجة لتأثير

قيمة ثابت العزل λ) حيث يكون تأثيره على انحراف الإلكترون ضعيفاً. وبالطبع يكون العدد z صغيراً عندما تكون شحنة الأيون zq كبيرة حيث يكون تأثيرها على انحراف الإلكترون كبيراً، ولما كان متوسط المسار الحر يتناسب عكسياً مع تركيز ذرات الشوائب المتأينة والتي لا تعتمد على درجة الحرارة، فإن λ لا تعتمد على درجة الحرارة. لذلك فإنه بالتعويض عن قيمة z في المعادلتين (8 - 5) و(8 - 8) نحصل على:

$$(8 - 15) \quad \mu_n \propto T^{3/2} \propto v^3 \propto \frac{\lambda}{v} \quad (\text{حالة الغاز غير المنحل})$$

أى أن القدرة الحركية للغاز غير المنحل تتناسب مع $T^{3/2}$ ولا تعتمد على درجة الحرارة للغاز الإلكتروني المنحل وذلك فى درجات الحرارة المنخفضة حيث يكون التشتت على ذرات الشوائب المتأينة سائداً (شكل 7-8).

أما إذا كان المعدن نقياً جداً (أى يحتوى كمية صغيرة جداً من الشوائب وعيوب الشبكية)، فإن التشتت على الفونونات يصبح هو السائد فى هذا المدى من درجات الحرارة المنخفضة، ويتناسب متوسط المسار الحر عكسيًا مع تركيز الفونونات n_{ph} .



شكل (7-8): اعتماد التحريرية الإلكترونية على درجة الحرارة وتركيز الشوائب

$$\therefore n_{ph} \propto T^3 \quad (8 - 17)$$

$$\therefore \lambda \propto \frac{1}{n_{ph}} \propto T^{-3}$$

ومتوسط عدد التصادمات \bar{n} اللازم للإلكترون كى يفقد سرعته الأصلية عند درجات الحرارة العالية هو $1 \approx \bar{n}$ ، وذلك لأن كمية الحركة المتوسطة للفونون P_{ph} تساوى تقريباً كمية الحركة للإلكترون P_e أو على الأقل فى نفس الرتبة. أما فى مدى درجات الحرارة المنخفضة فإن $P_e \gg P_{ph}$ وبالتالي فإن $\bar{n} \gg 1$ ، ولما كانت P_{ph} تزيد مع ارتفاع درجة الحرارة فإن \bar{n} تعتمد أيضاً على درجة الحرارة. فإذا تصادم إلكترون ذو كمية حركة ابتدائية P_e^0 مع فونون عند النقطة A شكل (8-8)، حيث يعد هذا التصادم تصادماً منا، فإن القيمة المطلقة لكمية التحرك لا تتغير $(P_e = P_e^0)$ ، ويحدث تغير في الاتجاه فقط بحيث يكون $P_e = P_{ph} + P_e^0$ ، وينتج عن هذا التغير نقص كمية التحرك فى الاتجاه الأصلى بالمقدار ΔP_e . من المثلث BCD نجد أن:

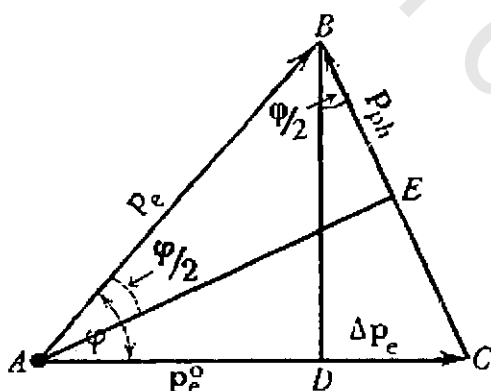
$$\Delta P_e = p_{ph} \sin \frac{\varphi}{2}$$

وتسمى φ بزاوية التشتت.

كذلك من المثلث ABE نجد أن:

$$\sin \frac{\varphi}{2} = \frac{p_{ph}}{2P_e}$$

$$\therefore \Delta P_e = \frac{p_{ph}^2}{2P_e}$$



شكل (8-8): التشتت الإلكتروني فوق الفونونات

أى أنه نتيجة لتصادم واحد فقد الإلكترون جزء من كمية تحركه يساوى $\Delta P_e = p_{ph}^2 / 2P_e$ ولكن يفقد كل كمية تحركه فى اتجاهه الأصلى يلزم حدوث عدد من التصادمات يعطى كالتالى:

$$v = \frac{p_e}{\Delta P_e} = p_e \left(\frac{p_{ph}^2}{2P_e} \right)^{-1} = 2 \left(\frac{p_e}{p_{ph}} \right)^2 \propto \frac{1}{p_{ph}^2}$$

وتعطى الطاقة المتوسطة للفونون (للمهتز التواافقى) عند درجات الحرارة العالية كالتالى:

$$\bar{\epsilon}_{ph} = \frac{1}{2} p_{ph} V \propto k_B T$$

حيث V هى سرعة الصوت فى البلورة (مقدار ثابت).

$$i.e P_{hp} \propto T$$

وبذلك فإن:

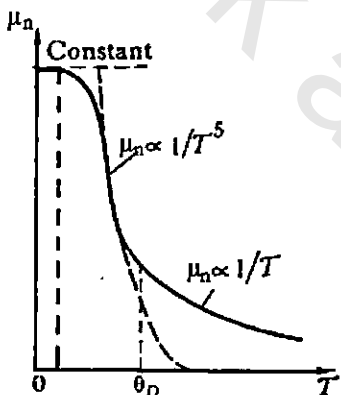
$$v \propto T^{-2}$$

(8 - 18)

بالتعويض من (8-17)، (8-18) فى العلاقة (8-5) فإن :

$$\mu_n = \frac{v_F \lambda_F}{V_F} \propto T^{-5} \quad (8 - 19)$$

شكل (8-9) يعطى منحنينا وصفيا للعلاقة (μ_n للمعادن النقية)، حيث نشاهد أن تحرکية الإلكترونات يتغير شكل اعتمادها على درجة الحرارة من مدى حراري إلى آخر.



شكل (8-9): اعتماد التحرکية الإلكترونية في المعادن النقية على درجة الحرارة

التوصيل الكهربى في المعادن النقية

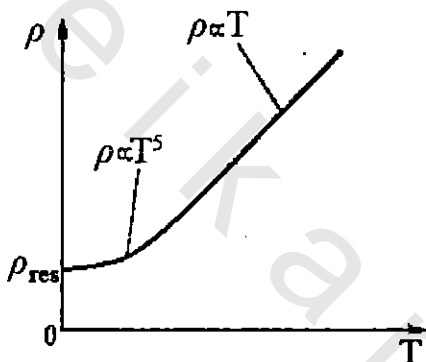
يتم التوصيل في المعادن النقية عن طريق الإلكترونات الحرة (عدا عنصرى البريليوم والزنك فتكون حاملات الشحنة هي الفجوات). وتعطى الموصليّة σ بالعلاقة $\sigma = nq\mu$. ولما كانت المعادن عبارة عن موصلات منحلّة، فإن تركيز الإلكترونات n لا يعتمد على درجة الحرارة، وتتوقف الموصليّة على علاقة القدرة الحركية μ بدرجة الحرارة. باستخدام العلاقات (8-13)، (8-18) للغاز المنحل عند درجات الحرارة العالية والمنخفضة على الترتيب، فإن:

$$\sigma = AT^{-1}, \rho = aT \quad (8 - 20)$$

$$\sigma = BT^{-5}, \rho = bT^5 \quad (8 - 21)$$

حيث A, B, a, b ثوابت التناسب.

شكل (10-8) يبين أن العلاقة $\rho(T)$ هي علاقة خطية في مدي درجات الحرارة المرتفعة، بينما تمثل بمنحنى قطع مكافئ من الدرجة الخامسة في مدي درجات الحرارة المنخفضة وتكون العلاقة $\rho(T)$ مماثلة بخط مستقيم يوازي محور درجات الحرارة بالقرب من $0K$.



شكل (10-8): اعتماد القاومية النوعية للمعدن
النقي على درجة الحرارة

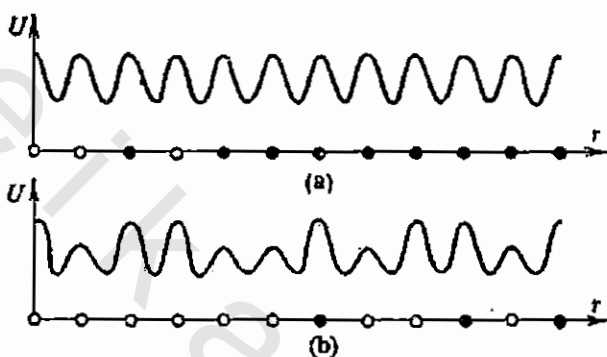
جدول (1) يعطى مقارنة بين القيم النظرية والعملية للموصولة، حيث يتضح أنه لعناصر الصوديوم والبوتاسيوم يكون الاتفاق كبيراً بين القيم النظرية والعملية، في حين أن القيم العملية للعناصر الأخرى المدونة بالجدول تكون صغيرة عن القيم النظرية بشكل كبير، والسبب في ذلك هو أن كل إلكترونات التوصيل للعناصر K، Na هي إلكترونات حرة، وبزيادة الكتلة الذرية يزيد جهد الشبكة البللورية مؤدياً إلى زيادة ارتباط الإلكترونات التوصيل للشبكة البللورية، وهذا يجعل التقرير بأن الإلكترونات حرة يحيد عن الصواب.

جدول (1-8): القيم النظرية والعملية للموصولة الكهربائية لبعض المعادن

$\sigma (10^6 \Omega^{-1} m^{-1})$	Na	K	Rb	Cu	Ag	Au
σ_{theory}	22	19	20	100	90	107
$\sigma_{\text{experiment}}$	23	15	8	64	67	68

التوصيل الكهربى للسبائك المعدنية

تعتمد الموصولة الكهربية في السبائك على تحركية حاملات الشحنة، وذلك لأن تركيز حاملات الشحنة فيها لا يعتمد على درجة الحرارة أيضاً. بفرض شبکية بللورية لمعدن نقى (مثل النحاس) فإن جهد هذه الشبکية يكون دورياً ومنتظماً (شكل 8-11.a)، فإذا استبدلنا بعض ذرات النحاس بذرات معدن آخر ول يكن الذهب، فإن مجال الشبکية يحيد



شكل (8-11): المجال الدورى للشبکية البللورية للمعدن النقى (a) وللسبیکة (b)

عن شكله الأصلى، وذلك لأن جهد مجال ذرات الشوائب لا يكون ممائلاً لجهد ذرات الشبکية الأصلية. وهذا التشوه في المجال الدورى للشبکية يؤدي إلى تشتت حاملات الشحنة وبالتالي ظهور مقاومة كهربية إضافية.

إذا اعتبرنا سبیکة ثنائية بسيطة مكونة من معدنين بالنسبة الكسرية ω ، ($1 - \omega$) ك محلول صلب، فإن التحرکية μ_{al} متناسب عكسيًا مع حاصل ضرب النسبتين تقریباً (طبقاً للعالم نوردهيم L.Nordheim).

$$i.e \quad \mu_{al} \propto \frac{1}{\omega(1-\omega)} \quad (8-22)$$

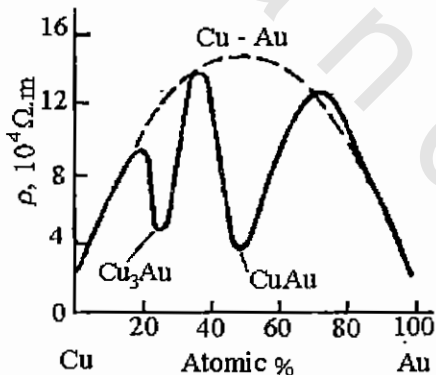
$$or \quad \rho_{al} = \frac{1}{\sigma_{al}} \propto \frac{1}{\mu_{al}} = B\omega(1-\omega) \quad (8-23)$$

حيث B ثابت التنااسب. ويكون التسویه وبالتالي المقاومة أكبر ما يمكن عندما تكون ($\omega - 1$) أقصى ما يمكن، أي عندما يتتساوى تركيزاً المعدنين ($\omega = 0.5$). شكل (8-12) يبيّن تغير المقاومة النوعية ρ للسبیکة Cu-Au مع تغير التركيز، نلاحظ

أن المنحنى يمر بقيمة عظمى عندما يكون التركيز ٥٠٪ للنحاس فى السبيكة. وعموماً فإن قيمة المقاومة النوعية للسبائك ρ_{al} أكبر من قيمتها لكل من الذهب أو النحاس، فمثلاً عند درجة حرارة الغرفة وجد أن:

$$\rho_{cu} = 1.7 \times 10^{-8} \Omega \cdot m, \quad \rho_{Au} = 1.5 \times 10^{-8} \Omega \cdot m \\ \text{and } \rho_{al} = (50\% Cu + 50\% Au) = 1.5 \times 10^{-8} \Omega \cdot m$$

من جهة أخرى تبين أنه لو كانت نسبة المعدنين في السبيكة بحيث يعطيان تركيباً اتزانياً (Stoichiometric composition)، فإن الشبكية البللورية تسترد دوريتها ويختفي التشتت فوق الشوائب (أي فوق التشوه الحادث في الجهد البللوري) وتختفي المقاومة الناشئة عن ذلك. يحدث هذا لسببيكة النحاس والذهب عند التركيبات الاتزانية Cu_3Au ، $CuAu$ ، $Cu - Au$ حيث تكون ρ نهاية صغرى كما يتضح من المنحنى المستمر في شكل (12-8). وهذا يوافق ما أكدته النظرية الكمية «أن مصدر المقاومة الكهربائية للمواد الصلبة يعزى لتشتت الإلكترونات الحرة فوق عيوب التركيب البللوري التي تسبب تشويهاً لدورية جهد الشبكية ولا يعزى لتصادم هذه الإلكترونات مع ذرات الشبكية ذاتها».



شكل (12-8): اعتماد المقاومة النوعية
للسبائك على تركيز مكوناتها

وعموماً، فإن الشبكية البللورية الخالية من العيوب تكون ذات جهد دوري منتظم تماماً، وبالتالي لا يحدث تشتت لحاملات الشحنة الحرية وتميل مقاومتها إلى القيمة الصفرية. عملياً أمكن تأكيد ذلك الاستنتاج حيث وجد أنه كلما زادت درجة نقاوة المعدن فإن مقاومته النوعية تمثل إلى القيمة الصفرية – وتختلاشى عند درجة الصفر المطلق. أما في حالة التركيز المنخفض للشوائب فإن المدار $1 \leq \omega_{al} \leq 1$ وعليه فإن ρ_{al} ولا تعتمد على درجة الحرارة، وبالتالي فإنها لا تتلاشى عند درجة الصفر المطلق بل تظل ذات قيمة يطلق عليها المقاومة المتبقية (residual resistivity) (شكل 10-8).

عند درجات الحرارة العالية تنشأ مقاومة أخرى ρ_T تعتمد على درجة الحرارة وترجع إلى تشتت الإلكترونات بواسطة اهتزازات الشبكة البلورية.

$$\text{i.e. } \rho = \rho_{\text{res}} + \rho_T \quad (8-24)$$

وتسمى هذه العلاقة بقاعدة ماتهيßen (Matthiessen's rule).

العامل الحراري للمقاومة النوعية (α)

يعرف بأنه «التغير النسبي للمقاومة النوعية لوصول نتائج ارتفاع درجة حرارته درجة واحدة مطلقة».

$$\text{i.e. } \alpha = \frac{1}{\rho} \frac{d\rho_T}{dT}$$

للمعادن النقية ($\rho = \rho_T$) تكون:

$$\alpha = \frac{1}{\rho_T} \frac{d\rho_T}{dT} \quad (8-25)$$

وللسبائك ($\rho = \rho_{\text{res}} + \rho_T$) نجد أن:

$$\alpha_{al} = \frac{1}{(\rho_{\text{res}} + \rho_T)} \frac{d\rho_T}{dT}$$

بالقسمة بسطاً ومقاماً على ρ_T

$$\alpha_{al} = \frac{1}{1 + \left(\frac{\rho_{\text{res}}}{\rho_T} \right)} \cdot \frac{1}{\rho_T} \frac{d\rho_T}{dT} = \frac{\alpha}{1 + \left(\frac{\rho_{\text{res}}}{\rho_T} \right)} \quad (8-26)$$

واضح من هذه العلاقة أن α_{al} برقبة واحدة حيث $\rho_T > \rho_{\text{res}}$ دائمًا برتبة واحدة، وغالباً (T_{al}) تكون أكثر تعقيداً من العلاقة (8-24)، كما أن المعامل α_{al} يمكن أن يتغير من مدى حراري إلى آخر ويمكن أن يكون سالب القيمة كما في حالة الكونستنتان.

التوسيل الكهربائي في أشباه الموصلات

بينما سبق أن تغير الموصولة الكهربائية للمعادن مع درجة الحرارة يعتمد على تغير التحركية لحواميل الشحنة ولا يعتمد على تركيزها، إلا أنه في أشباه الموصلات الذاتية والشائبية غير المنحلة فإن التغير في التوصيل الكهربائي مع درجة الحرارة يعزى للتغير في تركيز حواميل الشحنة مع درجة الحرارة وعلى اتساع النقطة المحمرة.

التوسيل الذاتي

أشباه الموصلات الخالية من الشوائب يتم التوصيل فيها بواسطة كلا نوعي حاملات

الشحنة (الإلكترونات والفجوات) ويسمى بالتوصيل الذاتي (intrinsic) حيث:

$$\sigma_i = \sigma_n + \sigma_p = q n_i (\mu_n + \mu_h) = q n_i \mu_{nh} \quad (8-27)$$

$$\text{حيث } \mu_{nh} = \mu_n + \mu_h$$

ومن النظرية الإلكترونية للجوامد يعطى تركيز حوامل الشحنة n_i بالصورة الآتية:

$$n_i = 2 \left(\frac{2\pi \sqrt{m^* m_h^*} K_B T}{h^2} \right)^{3/2} e^{-E_g / 2k_B T} \quad (8-28)$$

وكما بینا أيضا فإن تحرکية حوامل الشحنة تتناسب مع $T^{3/2}$ وبالتعويض في العلاقة

(8-27) نحصل على:-

$$\sigma_i = \sigma_0 e^{-E_g / 2k_B T} \quad (8-29)$$

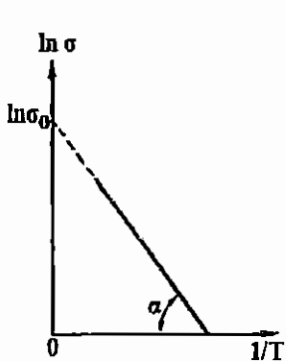
حيث يمثل الحد قبل الأس (Pre-exponential term)، وبأخذ اللوغاریتم

للعلاقة (8-29) نحصل على:-

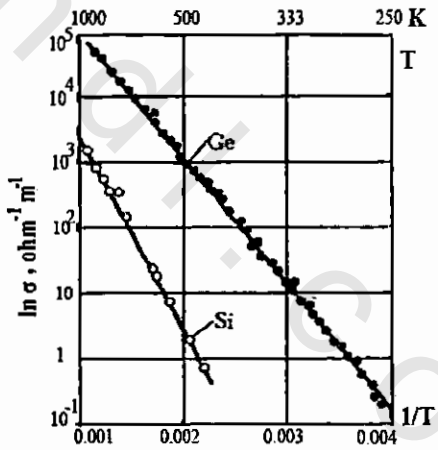
$$\ln \sigma_i = \frac{-E_g}{2K_B} \cdot \frac{1}{T} + \ln \sigma_0 \quad (8-30)$$

والتي يمكن تمثيلها كما في شكل (8-13)، ومنه يمكن إيجاد كل من σ_0 واتساع

المنطقة المحرمة E_g .



(a)



(b)

شكل (8-13): العلاقة $\sigma_i - T$ في حالة التوصيل الذاتي

عند درجة حرارة ثابتة، فإن الموصليات الكهربائية لشبكة الموصل تعتمد على اتساع المنطقة المحرمة، كما يبين جدول (8-2) الذي يعطى قيمة المقاومة النوعية واتساع

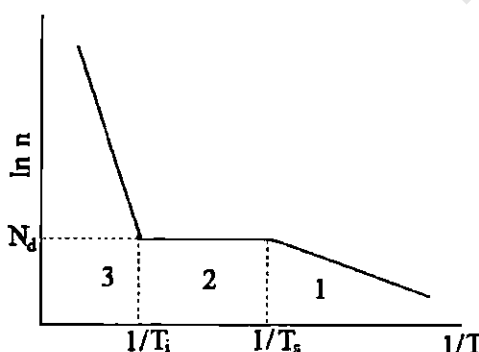
المنطقة المحرمة لبعض أشباه الموصلات عند درجة حرارة الغرفة ، حيث نلاحظ أن نقص E_g من 5.2 لللماس إلى 0.08 للقصدير أدى إلى نقص كبير في $\rho (\Omega \cdot m)$ من 10^{10} إلى 2×10^{-6} أى في حدود 16 رتبة.

جدول (2-8) : المقاومة النوعية واتساع المنطقة المحرمة لبعض أشباه الموصلات عند درجة حرارة الغرفة

شبه الموصل	اللماس C	السيликون Si	الجرمانيوم Ge	القصدير Sn
E_g (eV)	5.2	1.12	0.66	0.08
$\rho (\Omega \cdot m)$	10^{10}	3×10^{-6}	0.47	2×10^{-6}

التوصيل الشائبي

يعزى تغير الموصولة الكهربية مع درجة الحرارة لأشباه الموصلات الشائبية غير المنحلة لتغير تركيز حاملات الشحنة مع درجة الحرارة (كما هو الحال لأشباه الموصلات النقية) ، لذلك نلاحظ تشابه سلوك العلاقتين (T) n على الأقل من الناحية الوصفية (شكل (8-14) & (8-15)).



شكل (8-14) : اعتماد تركيز حاملات الشحنة على درجة الحرارة لشبہ الموصل الشائبي

شكل (8-15) يعطى العلاقة (T) n لشبہ الموصل الشائبي عند تركيزات مختلفة لذرات الشوائب ، والذى يمكن تقسيمه إلى ثلاثة أجزاء مختلفة (ab ، bc ، cd عند تركيز للشوائب N_{im}).).

المنطقة ab: تقع بين درجة الصفر المطلق ودرجة حرارة التشيع للشوائب T_i (والتي عندما تكون كل الذرات الشائبة متأينة تماما وتشارك بأقصى قيمة في حاملات الشحنة

الحرارة - أى تصل لمرحلة التشبع) ويعطى تركيز حاميات الشحنة فى هذه المنطقة

$$n = \sqrt{2N_d} \left(\frac{2\pi m^* K_B T}{h^2} \right)^{3/2} e^{-E_d/2K_B T} \quad (8-31)$$

بالعلاقة التالية :

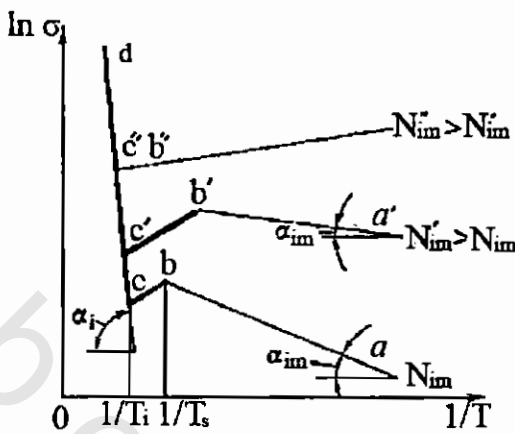
كما تتحدد غالباً تحريرية حاميات الشحنة عن طريق التشتت فوق الشوائب والعيوب البلاستيكية حيث $T^{3/2} \propto n$ وبذلك نحصل على :

$$\begin{aligned} \sigma_{im} &= \sigma_{im}^0 e^{-E_d/(2K_B T)} \\ i.e. \quad \ln \sigma_{im} &= -\frac{E_d}{2K_B} \times \frac{1}{T} + \ln \sigma_{im}^0 \end{aligned} \quad (8-32)$$

حيث يعتمد المعامل σ_{im}^0 على درجة الحرارة بشكل ضعيف بالمقارنة بالدالة الأسية.
برسم العلاقة $\frac{1}{T}$ vs. $\ln \sigma_{im}$ نحصل على خط مستقيم يصنف زاوية α_{im} مع المحور $\frac{1}{T}$
حيث $\tan \alpha_{im} = \frac{E_d}{2K_B}$ تتناسب مع طاقة التأين للشوائب E_d .

المنطقة bc: تقع بين منطقة النفاذ الكامل (التأين الكامل) للشوائب ab ومنطقة التوصيل الذاتي cd، وفيها تكون كل ذرات الشوائب متآينة، بينما لا تزال درجة الحرارة أقل من الدرجة اللازمة لإثارة حاميات الشحنة الذاتية وإحداث انتقال إلكترونی من منطقة التكافؤ إلى منطقة التوصيل، وبالتالي يظل تركيز حاميات الشحنة ثابت القيمة تقريباً ويساوى تركيز الشوائب $n \approx N_d$ ، وعليه، فإن علاقه الموصليه الكهربائيه بدرجة الحرارة في هذا المدى تتعدد بواسطة علاقه تحريرية حاميات الشحنة بها. فإذا كان التشتت يتم فوق اهتزازات الشبكية (الفنونات) فإن ذلك يؤدي إلى نقص هذه التحريرية وبالتالي نقص n مع ارتفاع درجة الحرارة (شكل 8-15)، أما إذا كان التشتت يحدث على ذرات الشوائب أو العيوب البلاستيكية فإن قيمة التحريرية وبالتالي قيمة n تزداد مع ارتفاع درجة الحرارة.

المنطقة cd: هي منطقة التوصيل الذاتي وفيها يحدث انتقال من منطقة التكافؤ إلى منطقة التوصيل وتتصف بنفس المعادلات (8-28)، (8-29) الخاصتين باعتماد تركيز حاميات الشحنة والموصليه الكهربائيه على درجة الحرارة على الترتيب.



شكل (15-8): العلاقة
لشبہ الموصل الشائی

الثيرمستور Thermistor

التغير الكبير لمقاومة شبہ الموصل مع درجة الحرارة أمكن استغلاله تكنولوجيا في أغراض عديدة، فالثيرمستور (وهو عبارة عن قطعة مجسمة من مادة شبہ موصل يعتمد التغير في مقاومتها على التغير في درجة الحرارة بشكل كبير، والعلاقة المميزة له $V - I$ غير خطية)، استخدم في قياسات درجة الحرارة وقدرة الإشعاعات الكهرومغناطيسية ذات الترددات العالية، كما استخدم في تعويض الدوائر الكهربائية المختلفة بالطاقة الحرارية وفي وسائل التحكم الزمني لدرجة الحرارة (Releigh). وتوجد أنواع من الثيرمستور ذات أبعاد صغيرة تسمى ميكروثيرمستور تستخدمن في دراسة التبادلات الحرارية في النباتات والتركيب العضوي للكائنات الحية، كما تستخدم في الكشف المبكر عن الأمراض التي تصيب الإنسان.

وتستخدم الثيرمستورات المصنعة من أغشية رقيقة من أشباه الموصلات في الكواشف الإشعاعية (جهاز البولوميتر)، حيث تزيد حساسية الكشف له إلى W^{-10} ، ومثل هذا الجهاز إذا ما وضع في بؤرة مرآة على شكل قطع مكافئ فإنه يتمكن من الكشف عن الأجسام التي تنبع منها حرارة سواء كانت متحركة مثل الطائرات أو الدبابات أو ثابتة مثل المصنع... إلخ، كما تستخدم في الكشف عن الأشعة تحت الحمراء المنعكسة من سطح القمر.

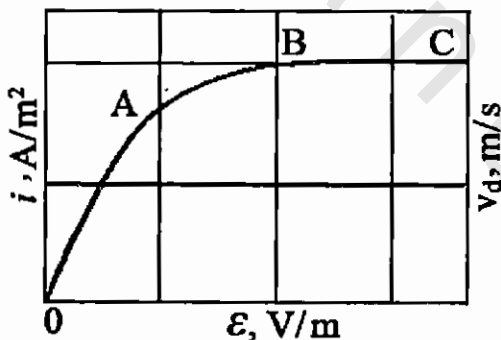
الانحراف عن قانون أوم

يبين قانون أوم أن العلاقة خطية إذا كانت الموصولة الكهربية ($\sigma = qnv$)

ثابتة القيمة. ولا كانت سرعة حوامل الشحنة v هي مجموع السرعتين الحرارية v_h والانسياقية v_d الناتجة بسبب المجال الكهربى، فإن:

$$v = v_h + v_d \approx v_d$$

وذلك فى حالة المجالات الكهربية الضعيفة ($v_d \ll v_h$)، أى أن السرعة وبالتالي الموصولة النوعية لا يعتمدان على شدة المجال الكهربى. لذلك، يكون قانون أوم صالح فقط فى حالة المجالات الكهربية الضعيفة. حيث إذا زاد المجال الكهربى ليصبح مؤثرا على قيمة السرعة الانسياقية v_d لتصل إلى قيمة مقارنة بالسرعة الحرارية v_h فإن المحصلة الكلية للسرعة تبدا فى الاعتماد على قيمة المجال الكهربى، مما يؤدى إلى تشويف العلاقة الخطية $v_d = kE$ وهو ما يسمى بالانحراف عن قانون أوم. ويطلق على المجالات الكهربية التى يحدث عندها هذا الانحراف بالمجالات القوية (strong fields). وعند القيم العالية لهذه المجالات القوية فإن السرعة الانسياقية يتوقف اعتمادها على المجال، حيث تصل إلى مرحلة أو ظاهرة تسمى بتشبع السرعة الانسياقية drift velocity saturation effect (شكل 16-8) وبالتالي تشبع التيار الناتج لأن $v_d \propto z$.



شكل (16-8): اعتماد كل من التيار والسرعة الانسياقية للإلكترونات على شدة المجال الكهربى

ومما هو جدير بالذكر، فإن ارتفاع السرعة المحصلة للإلكترونات تحت تأثير المجالات الكهربية الخارجية يؤدى إلى ارتفاع درجة حرارة الغاز الإلكتروني، لذا فإنه يطلق على هذه الظاهرة «تسخين الغاز الإلكتروني» Electron gas heating وعلى إلكترونات الغاز بالإلكترونات الساخنة hot electrons.

1- ظاهرة التأين الكهروحرارى Thermoelectric ionization

يحدث فيها انتقال الإلكترونات ذات الارتباط الضعيف بذراتها (إلكترونات التكافؤ)

إلى منطقة التوصيل مؤدية إلى تغيير تركيزات حوامل الشحنة في منطقتي التكافؤ والوصيل.

١- التأين التصادمي (Impact ionization)

يحدث نتيجة للتصادمات بين الإلكترونات التوصيل للفاز الإلكتروني ذي درجة الحرارة العالية والتي يمكن أن نحصل منها على طاقة كافية لتأيin الذرات المتعادلة، وبالتالي انتقال إلكتروناتها إلى منطقة التوصيل والتي عادة تكون مصحوبة بما يشبه انهيار أعداد كبيرة من الذرات واستسلامها للتأين «avalanche».

٢- التأين الكهروستاتيكي (Electrostatic ionization)

يحدث مثل هذا النوع في الظاهرة النفقية (tunneling effect)، حيث تنتقل الإلكترونات من منطقة التكافؤ إلى منطقة التوصيل عبر المنطقة المحرمة تحت تأثير المجالات الكهربائية القوية. ويطلق على هذه الظاهرة - تأثير زنر (zener effect).

٤- ظاهرة جن (Gunn effect)

تحدث في أشباه الموصلات التي تمتلك أكثر من قاع لمنطقة التوصيل مثل GaAs، حيث يتم انتقال الإلكترونات بشكل تردد ي يصل إلى $2 \times 10^{13} \text{ Hz}$ بين قاعي منطقة التوصيل تحت تأثير مجال كهربائي خارجي قوي وعند ظروف معينة.

